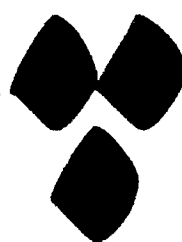


الله اکبر



۱۷۶۱

۸۷/۱۰/۴۴۲۵



دانشگاه امیرکبیر
دانشکده فنی مهندسی

گروه مهندسی مکانیک

پایان نامه برای دریافت درجه کارشناسی ارشد

گرایش تبدیل انرژی

عنوان:

شبیه سازی عددی جریان سیال مبرد در شیرهای انبساط سیستم های برودتی

دانشجو:

هادی نجف پور قهوچی

استاد راهنما:

دکتر نادر پور محمود

۸۷/۱۰/۲۱

زمستان ۸۷

۱۰۸۶۷۱

پایان نامه آنکه هارس نجف بر تحریر می شود
به تاریخ ۳۱/۰۸/۷۳ شماره ۲۱۱ مورد پذیرش هیات محترم

داوران با درجه سکرچنر و نمره ۱۸۱ قرار گرفت.

۱- استاد راهنمای و رئیس هیئت داوران: نادر مرزا محمدی

۲- استاد مشاور:

۳- داور خارجی: ایزاع میرزا

۴- داور داخلی: سید کاظم حسینی

۵- نماینده تحصیلات تکمیلی: حسین زریعی



به پاس تعبیر عظیم و انسانی شان از کلمه ایثار و از خود گذشتگی

به پاس غاطفه سر شار و گرمای امید بخش وجودشان
که در این سرد ترین روزگاران بهترین پشتیبان است

به پاس قلب های بزرگشان که فریاد رس است
و سر گردانی و ترس که در پناهشان به شجاعت می گراید

و به پاس محبت های بی دریغشان که هرگز فروکش نمی کند

این مجموعه را به پدر و مادر عزیزم تقدیم می کنم.

تقدیر و تشکر

با شکرگذاری به درگاه حق که هر چه داریم از اوست و اوست که بر همه چیز عالم و
تواناست.

از استاد ارجمند آقای دکتر نادر پورمحمود کمال تشکر و قدردانی را می‌نمایم که
همواره با حمایت‌ها و راهنمایی‌های ارزشمندانه موجبات دلگرمی پیشرفت کار را
فراهم نمودند.

از دوستان عزیزم به خاطر لطف و محبتان متشکرم.

فهرست مطالب

عنوان		صفحة
	I.....	فهرست
	V.....	فهرست اشکال و جداول.
	IX.....	چکیده
	۱.....	فصل اول : مقدمه و ساختار تحقیق
۱	۱.....	۱-۱ مقدمه
۲	۱.....	۲-۱ هدف تحقیق
۳	۱.....	۳-۱ ساختار پایان نامه
	۴.....	فصل دوم : انواع شیرهای انبساط و مروری بر کارهای انجام شده
۴	۴.....	۴-۱ مقدمه ای بر شیرهای انبساط
۴	۴.....	۴-۲ لوله های موزین
۵	۱.....	۵-۱-۱ شیرهای انبساط دستی
۶	۱.....	۶-۱-۲ شیرهای انبساط اتوماتیک
۷	۱.....	۷-۱-۳ شیرهای انبساط ترمومتریک
۸	۱.....	۸-۱-۴ شیرهای انبساط حرارتی الکتریکی
۹	۱.....	۹-۱-۵ شیرهای انبساط حرارتی الکتریکی
۱۰	۱.....	۱۰-۱-۶ نحوه انتخاب شیر انبساط
۱۱	۱.....	۱۱-۱-۷ اهمیت شیرهای انبساط
۱۲	۱.....	۱۲-۲ مروری بر کارهای قبلی
	۱۳.....	فصل سوم : روش های عددی
۱۴	۱.....	۱۴-۱ مقدمه
۱۵	۱.....	۱۵-۲ بررسی شرایط حاکم بر جریان
۱۶	۱.....	۱۶-۳ روش های حل معادلات حاکم بر جریان سیال
۱۷	۱.....	۱۷-۳-۱ روش تفاضل محدود

۱۷.....	۲-۳-۳ روش المان محدود
۱۷.....	۳-۲-۳ روش حجم محدود
۱۹.....	۴-۳ روش های محاسبه ترم جابجایی در معادلات حاکم
۱۹.....	۱-۴-۳ مجزا سازی معادلات ممتنم
۱۹.....	۱-۱-۴-۳ روش بالا دست مرتبه اول
۲۰.....	۲-۱-۴-۳ روش بالا دست مرتبه دوم
۲۱.....	۳-۱-۴-۳ روش توانی
۲۲.....	۴-۱-۴-۳ روش مرتبه ۳
۲۳.....	۳-۵ محاسبات مربوط به توزیع فشار
۲۴.....	۱-۵-۳ درون یابی فشار
۲۴.....	۲-۵-۳ وابستگی سرعت- فشار
۲۵.....	۱-۲-۵-۳ الگوریتم سیمپل
۲۵.....	۲-۲-۵-۳ الگوریتم سیمپل
۲۵.....	۳-۲-۵-۳ الگوریتم سیمپل سی
۲۶.....	۴-۲-۵-۳ الگوریتم پیزو
۲۶.....	۶-۳ حل معادلات جبری
۲۶.....	۷-۳ فاکتورهای زیر تخفیف و فرق تخفیف
۲۷.....	۸-۳ همگرایی حل
۲۹.....	فصل چهارم : مقدمه ای بر نرم افزار
۲۹.....	۱-۴ مقدمه
۳۰.....	۴-۲ نرم افزار پیش پردازنده
۳۰.....	۱-۲-۴ تولید هندسه
۳۰.....	۲-۲-۴ تولید کردن شبکه
۳۱.....	۱-۲-۲-۴ مدت زمان لازم برای تولید شبکه
۳۱.....	۲-۲-۲-۴ ملاحظات محاسباتی
۳۱.....	۳-۲-۲-۴ کیفیت شبکه
۳۱.....	۱-۳-۲-۲-۲ پراکندگی و فشردگی گره ها
۳۲.....	۲-۳-۲-۲-۴ یکنواختی و یکدستی شبکه
۳۲.....	۳-۳-۲-۲-۴ کشیدگی المانها
۳۲.....	۴-۲-۲-۴ انواع شبکه ها
۳۴.....	۱-۴-۲-۲-۴ شبکه با سازمان
۳۵.....	۳-۲-۴ شرایط مرزی

۳۵	۱-۳-۲-۴ شرط مرزی دیواره.....
۳۵	۴-۲-۳-۲-۴ شرط مرزی تقارن محوری
۳۵	۴-۳-۲-۴ شرط مرزی فشار خروجی
۳۵	۴-۳ نرم افزار پس پردازنده یا حل گر.....
۳۷	۴-۴ انتخاب شیوه محاسباتی و فرمول بندی حل.....
۳۸	۴-۴ انتخاب مدل محاسباتی.....
۳۸	۴-۴-۱ جریان غیر لزج
۳۸	۴-۴-۲ جریان آرام
۳۸	۴-۴-۳ جریان مغشوش
۳۹	۴-۴-۴ تعیین خواص
۳۹	۴-۴-۴ تعیین شرایط مرزی
۴۰	۴-۴-۵ تنظیم کردن پارامترهای کنترل کننده حل.....
۴۰	۴-۴-۵-۱ فاکتورهای زیر تخفیف
۴۰	۴-۴-۵-۲ حل کننده های تفکیکی
۴۱	۴-۴-۵-۳-۱ مجزا سازی معادلات ممتم
۴۱	۴-۴-۵-۳-۲ میانیابی فشار
۴۱	۴-۴-۵-۳-۴ وابستگی سرعت - فشار
۴۲	۴-۴-۶-۲ مقدار دهی اولیه به میدان جریان
۴۲	۴-۴-۷-۳ شروع و همگرایی محاسبات
۴۳	فصل پنجم : مقدمه ای بر مدل های توربیلانس
۴۳	۴-۵-۱ مقدمه
۴۶	۴-۵-۲ انتخاب مدل توربیلانس
۴۶	۴-۵-۳ روش میانگین رینولدز و روش LES
۴۷	۴-۵-۴ روش بوزینسک و مدل های انتقال تنش رینولدز
۴۸	۴-۵-۵ مدل $\varepsilon - k$ - استاندارد
۴۸	۴-۵-۶ هزینه محاسباتی؛ زمان و رفتار حل
۴۸	۴-۵-۷ مدل $k - \varepsilon$ استاندارد (Ske)
۴۹	۴-۵-۸ معادلات انتقال مدل $\varepsilon - k$ - استاندارد
۴۹	۴-۵-۹ مدل کردن ویسکوژیته توربیلانس
۴۹	۴-۵-۱۰ ثابتهای مدل
۵۰	۴-۵-۱۱ مدل کردن تولید توربیلانس در مدل های $k - \varepsilon$
۵۰	۴-۵-۱۲ مدل کردن انتقال حرارت و جرم در مدل های $k - \varepsilon$

۱۰-۵ رفتار نزدیک دیواره در جریانهای توربولانس محصور شده توسط دیواره.....	۵۱
۱۱-۵ توابع دیواره و مدل نزدیک دیواره.....	۵۱
فصل ششم : بیان مسئله و ارائه معادلات حاکم و بررسی نتایج بدست آمده	۵۳
۱-۶ بیان مسئله و ارائه معادلات.....	۵۳
۲-۶ مدل محاسباتی	۵۵
۳-۶ ارائه نتایج	۵۸
فصل هفتم : نتیجه گیری کلی و پیشنهادات.....	۹۰
۱-۷ مقدمه	۹۰
۲-۷ نتیجه گیری کلی	۹۶
۳-۷ پیشنهادات	۹۷
منابع و مراجع	۹۸

فهرست اشکال و جداول

فصل دوم

..... شکل (۱-۲) سیستم تبرید بالوله موین	۵
..... شکل (۲-۲) شیر انبساط دستی	۶
..... شکل (۳-۲) دیاگرام شماتیکی شیر انبساط اتوماتیک	۷
..... شکل (۴-۲) نمایش اصول کار شیرهای انبساط ترموموستاتیک	۹
..... شکل (۵-۲) روش های معمول نصب کپسول شیر انبساط	۹
..... شکل (۶-۲) شیر انبساط حرارتی الکتریکی	۱۰

فصل سوم

..... شکل (۱-۳) حجم کنترل سیال در حالت دو بعدی	۱۷
..... شکل (۲-۳) المان حجمی	۱۸
..... شکل (۳-۳) حجم کنترل در فضای یک بعدی	۲۰
..... شکل (۴-۳) پارامتر مربوط به روش بالا دست مرتبه دوم	۲۱
..... شکل (۵-۳) تغییرات متغیر ϕ بین $x=0$ تا L	۲۲
..... شکل (۶-۳) حجم کنترل یک بعدی	۲۳

فصل چهارم

..... شکل (۱-۴) دو نوع المان مربعی و مثلثی	۳۳
..... شکل (۲-۴) نمونه ای از شبکه چند بلوکی مربعی با سازمان	۳۳
..... شکل (۳-۴) نمونه ای از شبکه با سازمان مربعی حول ایرفوول	۳۴
..... شکل (۴-۴) نمونه ای از شبکه بی سازمان مربعی	۳۴

فصل پنجم

..... شکل (۱-۵) نوسانات سرعت در یک جریان توربیلانس	۴۰
..... شکل (۲-۵) تقسیم بندی ناحیه نزدیک دیواره	۵۱
..... شکل (۳-۵) مقایسه روش توابع دیواره و روش دو لایه ای	۵۲

فصل ششم

شکل (۱-۶) (الف) برش دو بعدی (شکل شماتیکی شیر انبساط مدل شده در این پایان نامه)	۵۳
شکل ((۱-۶)(ب)) مدل سه بعدی (شکل شماتیکی شیر انبساط مدل شده در این پایان نامه)	۵۴
شکل (۲-۶) شبکه تولید شده برای شیر انبساط	۵۶
شکل (۳-۶) بررسی استقلال شبکه بر روی دبی جریان	۵۶
جدول (۱-۶) اثر تعداد مش بندی بر روی تعداد تکرار	۵۷
شکل (۴-۶) اثرات فشار خروجی بر روی دبی جریان برای مبرد R22	۵۸
شکل (۵-۶) اثرات فشار خروجی بر روی دبی جریان برای مبرد R410A	۵۸
شکل (۶-۶) اثرات دمای خروجی بر روی دبی جریان برای مبرد R22	۵۹
شکل (۷-۶) اثرات دمای خروجی بر روی دبی جریان برای مبرد R410A	۵۹
شکل (۸-۶) اثرات دمای ورودی بر روی دبی جریان مبرد R22	۶۰
شکل (۹-۶) اثرات دمای ورودی بر روی دبی جریان مبرد R410A	۶۰
شکل (۱۰-۶) تغییرات دبی جریان بر اثر تغییرات فشار ورودی	۶۱
شکل (۱۱-۶) وابستگی دبی جریان به اندازه باز شدن روزنہ شیر تحت شرایط فشار ورودی ثابت	۶۱
شکل (۱۲-۶) تغییرات نسبی دما در اثر تغییرات در اندازه باز شدن روزنہ شیر	۶۲
شکل (۱۳-۶) اثر تغییرات زاویه α بر روی تغییرات نسبی دما	۶۳
شکل (۱۴-۶) تعریف زاویه α بر روی هندسه شیر انبساط	۶۳
شکل (۱۵-۶) تغییرات نسبی سرعت در اثر تغییر در میزان باز و بسته شدن روزنہ شیر	۶۴
شکل (۱۶-۶) تغییرات نسبی دما در نتیجه تغییرات نسبی فشار	۶۵
شکل (۱۷-۶) مقایسه سه مبرد R22 , R410A , R134	۶۶
شکل (۱۸-۶) کانتور دما برای نسبت فشار $P_i/P_o = 1.1737$	۶۷
شکل (۱۹-۶) کانتور فشار برای نسبت فشار $P_i/P_o = 1.1737$	۶۸
شکل (۲۰-۶) کانتور سرعت برای نسبت فشار $P_i/P_o = 1.1737$	۶۹
شکل (۲۱-۶) پروفیل سرعت در قسمت خروجی شیر انبساط مدل شده در این پایان نامه	۷۰
شکل (۲۲-۶) نشان دهنده مقاطع مختلف بر روی شیر انبساط	۷۰
شکل (۲۳-۶) پروفیل سرعت در قسمت ورودی شیر انبساط مدل شده در این پایان نامه	۷۱
شکل (۲۴-۶) پروفیل سرعت در فضای بین دیواره و پیستون داخلی	۷۱
شکل (۲۵-۶) خطوط جریان برای مبرد R22 ، برای نسبت فشار $P_i/P_o = 3.3812$	۷۲
شکل (۲۶-۶) کانتور فشار برای مبرد R22 ، برای نسبت فشار $P_i/P_o = 3.3812$	۷۲
شکل (۲۷-۶) خطوط جریان برای مبرد R22 ، برای نسبت فشار $P_i/P_o = 3.3812$	۷۳
شکل (۲۸-۶) کانتور دما برای مبرد R22 ، برای نسبت فشار $P_i/P_o = 3.3812$	۷۳
شکل (۲۹-۶) کانتور سرعت برای مبرد R22 ، برای نسبت فشار $P_i/P_o = 3.3812$	۷۴

۷۴.....	$P_i/P_o = 3.1677$	شکل (۳۰-۶) کانتور فشار برای مبرد R22 ، برای نسبت فشار
۷۵.....	$P_i/P_o = 3.1677$	شکل (۳۱-۶) کانتور فشار برای مبرد R22 ، برای نسبت فشار
۷۶.....	$P_i/P_o = 3.1677$	شکل (۳۲-۶) خطوط جریان برای مبرد R22 ، برای نسبت فشار
۷۷.....	$P_i/P_o = 3.1677$	شکل (۳۳-۶) کانتور دما برای مبرد R22 ، برای نسبت فشار
۷۸.....	$P_i/P_o = 3.1677$	شکل (۳۴-۶) کانتور سرعت برای مبرد R22 ، برای نسبت فشار
۷۹.....	$P_i/P_o = 2.8829$	شکل (۳۵-۶) خطوط جریان برای مبرد R22 ، برای نسبت فشار
۸۰.....	$P_i/P_o = 2.8829$	شکل (۳۶-۶) کانتور فشار برای مبرد R22 ، برای نسبت فشار
۸۱.....	$P_i/P_o = 2.8829$	شکل (۳۷-۶) خطوط جریان برای مبرد R22 ، برای نسبت فشار
۸۲.....	$P_i/P_o = 2.8829$	شکل (۳۸-۶) کانتور دما برای مبرد R22 ، برای نسبت فشار
۸۳.....	$P_i/P_o = 2.8829$	شکل (۳۹-۶) کانتور سرعت برای مبرد R22 ، برای نسبت فشار
۸۴.....	$P_i/P_o = 2.6945$	شکل (۴۰-۶) خطوط جریان برای مبرد R22 ، برای نسبت فشار
۸۵.....	$P_i/P_o = 2.6945$	شکل (۴۱-۶) کانتور فشار برای مبرد R22 ، برای نسبت فشار
۸۶.....	$P_i/P_o = 2.6945$	شکل (۴۲-۶) خطوط جریان برای مبرد R22 ، برای نسبت فشار
۸۷.....	$P_i/P_o = 2.6945$	شکل (۴۳-۶) کانتور دما برای مبرد R22 ، برای نسبت فشار
۸۸.....	$P_i/P_o = 2.6945$	شکل (۴۴-۶) کانتور سرعت برای مبرد R22 ، برای نسبت فشار
۸۹.....	$P_i/P_o = 2.5266$	شکل (۴۵-۶) خطوط جریان برای مبرد R22 ، برای نسبت فشار
۹۰.....	$P_i/P_o = 2.5266$	شکل (۴۶-۶) کانتور فشار برای مبرد R22 ، برای نسبت فشار
۹۱.....	$P_i/P_o = 2.5266$	شکل (۴۷-۶) خطوط جریان برای مبرد R22 ، برای نسبت فشار
۹۲.....	$P_i/P_o = 2.5266$	شکل (۴۸-۶) کانتور دما برای مبرد R22 ، برای نسبت فشار
۹۳.....	$P_i/P_o = 2.5266$	شکل (۴۹-۶) کانتور سرعت برای مبرد R22 ، برای نسبت فشار
۹۴.....	$P_i/P_o = 2.7329$	شکل (۵۰-۶) کانتور فشار برای مبرد R410A ، برای نسبت فشار
۹۵.....	$P_i/P_o = 2.7329$	شکل (۵۱-۶) کانتور فشار برای مبرد R410A ، برای نسبت فشار
۹۶.....	$P_i/P_o = 2.7329$	شکل (۵۲-۶) خطوط جریان برای مبرد R410A ، برای نسبت فشار
۹۷.....	$P_i/P_o = 2.7329$	شکل (۵۳-۶) کانتور دما برای مبرد R410A ، برای نسبت فشار
۹۸.....	$P_i/P_o = 2.7329$	شکل (۵۴-۶) کانتور سرعت برای مبرد R410A ، برای نسبت فشار
۹۹.....	$P_i/P_o = 2.6667$	شکل (۵۵-۶) خطوط جریان برای مبرد R410A ، برای نسبت فشار
۱۰۰.....	$P_i/P_o = 2.6667$	شکل (۵۶-۶) کانتور فشار برای مبرد R410A ، برای نسبت فشار
۱۰۱.....	$P_i/P_o = 2.6667$	شکل (۵۷-۶) خطوط جریان برای مبرد R410A ، برای نسبت فشار
۱۰۲.....	$P_i/P_o = 2.6667$	شکل (۵۸-۶) کانتور دما برای مبرد R410A ، برای نسبت فشار
۱۰۳.....	$P_i/P_o = 2.6667$	شکل (۵۹-۶) کانتور سرعت برای مبرد R410A ، برای نسبت فشار
۱۰۴.....	$P_i/P_o = 2.4731$	شکل (۶۰-۶) خطوط جریان برای مبرد R410A ، برای نسبت فشار
۱۰۵.....	$P_i/P_o = 2.4731$	شکل (۶۱-۶) کانتور فشار برای مبرد R410A ، برای نسبت فشار

- شکل (۶۲-۶) خطوط جریان برای مبرد R410A ، برای نسبت فشار $P_i/P_o = 2.4731$ ۹۰
- شکل (۶۳-۶) کانتور دما برای مبرد R410A ، برای نسبت فشار $P_i/P_o = 2.4731$ ۹۱
- شکل (۶۴-۶) کانتور سرعت برای مبرد R410A ، برای نسبت فشار $P_i/P_o = 2.4731$ ۹۱
- شکل (۶۵-۶) خطوط جریان برای مبرد R410A ، برای نسبت فشار $P_i/P_o = 2.2995$ ۹۲
- شکل (۶۶-۶) کانتور فشار برای مبرد R410A ، برای نسبت فشار $P_i/P_o = 2.2995$ ۹۲
- شکل (۶۷-۶) خطوط جریان برای مبرد R410A ، برای نسبت فشار $P_i/P_o = 2.2995$ ۹۳
- شکل (۶۸-۶) کانتور دما برای مبرد R410A ، برای نسبت فشار $P_i/P_o = 2.2995$ ۹۳
- شکل (۶۹-۶) کانتور سرعت برای مبرد R410A ، برای نسبت فشار $P_i/P_o = 2.2995$ ۹۴

چکیده

شیرهای انبساط یکی از مهم ترین قسمت های یک سیستم سرمایشی می باشد که جریان مبرد ورودی به داخل اوپرатор را کنترل می کند. در این تحقیق نیز بدليل اهمیت کاربردی و مهندسی این وسائل در صنایع تبرید سعی شده است که با استفاده از روش های عددی به تحلیل فیزیک جریان داخل مبردها پرداخته شود. بنابراین با ایجاد یک مدل سه بعدی از شیر انبساط، جریان سیال تراکم پذیر و آشفته درون آن شبیه سازی و تحلیل گردیده است.

در این راستا با استفاده از روش های عددی، تغییرات در هندسه روزنه شیر و تاثیر آن در بهبود عملکرد شیر انبساط، تاثیر تغییرات فشار ورودی و خروجی در دبی جریان مبرد، تاثیر تغییرات دما در میزان دبی جریان مبرد و کارایی بهتر شیر انبساط مورد بحث و بررسی قرار گرفته است. با استفاده از نتایج بدست آمده می توان شیر انبساط را بر روی بهترین حالت عملکرد تنظیم نمود و بازدهی سیستم تبرید را تا حد قابل توجهی افزایش داد. همچنین در این تحقیق چند سیال مبرد با یکدیگر مقایسه شده است و تاثیر هر کدام در عملکرد سیستم نشان داده شده است. مقایسه نتایج بدست آمده در این تحقیق برای شیر انبساط با نتایج تجربی موجود توافق بسیار خوبی را نشان می دهد.

كلمات کلیدی : شیر انبساط، سیستم تبرید، سیال مبرد، حل عددی

فصل اول

مقدمه و ساختار تحقیق

۱-۱: مقدمه

در اوایل پیدایش تبرید مکانیکی، دستگاههای موجود حجمی و گران بودند و عملکرد خوبی نداشتند و می‌بایست فردی متخصص از آنها نگهداری می‌نمود. به همین دلیل تبرید مکانیکی صرفاً به چند کاربرد بزرگ نظری و احدهای تولید یخ، بسته بندی گوشت و یخچال‌های بزرگ محدود می‌شد ولی این صنعت در عرض چند دهه بسرعت رشد نموده و به صورت امروزی درآمده است. این رشد سریع حاصل چند عامل مختلف می‌باشد. بطوریکه با پیشرفت روش‌های تولید دقیق، امکان تولید تجهیزات کوچکتر با راندمان بالاتر فراهم گردید. این امر به همراه تهیه مبردهای بی‌خطر و اختیاع موتورهای الکتریکی با حجم کوچکتر، امکان ساخت و احدهای تبرید کوچک را که امروزه در کاربردهایی نظری یخچالها و فریزرهای خانگی، دستگاه‌های هواساز کوچک و دستگاه‌های تجاری مورد استفاده قرار می‌گیرند، فراهم نمود؛ بنحوی که هم اکنون کمتر خانه یا واحد تجاری را می‌توان یافت که از یکی از انواع مختلف دستگاه‌های تبرید مکانیکی استفاده نکند. کاربردهای صنعت تبرید را می‌توان در شش گروه اصلی تقسیم نمود: تبرید خانگی، تبرید تجاری، تبرید صنعتی، تبرید حمل و نقل، تهویه مطبوع ساختمانها و تهویه صنعتی.

یکی از ملاحظات مهم در طراحی سیستم‌های تبرید ایجاد رابطه صحیح بین قسمت‌های تبخیر و تقطیر سیستم می‌باشد. شایان توجه است که هرگاه اوپرатор و کنداسور در یک سیستم به طور مشترک با هم کار کنند همواره

شدت تبخیر و نقطیر، یعنی شدت خروج بخار از اوپرатор و نقطیر آن در واحد نقطیر و شدت تولید بخار در اثر جوشیدن مبرد مایع در اوپرатор با هم برابر است. انتخاب وسیله کنترل برای کارکرد یک سیستم تبرید امر مهمی است. وسیله کنترلی که پاسخگوی نیاز سیستم نباشد و یا از نظر اندازه نادرست انتخاب شده باشد می‌تواند باعث کارکرد ضعیف سیستم شود. برای مثال، اگر وسیله کنترلی دارای ظرفیتی پایین‌تر از حد مطلوب باشد، مبرد به اندازه کافی به داخل اوپرатор جریان پیدا نکرده و در نتیجه توان سرمایی سیستم پایین‌می‌آید. یک وسیله انبساطی با ظرفیت بیش از مقدار مورد نظر، با راه دادن به جریان بیشتری از سیال به داخل اوپرатор باعث می‌شود تا مایع مبرد به درون کمپرسور برگردد. هر دو وضعیت ذکر شده چنانچه به سرعت اصلاح نشود به خرابی کمپرسور منجر خواهد شد.

یکی از این وسایل کنترل کننده مبرد در سیستم‌های تبرید، شیرهای انبساط^۱ می‌باشد. شیر انبساط تعیین کننده میزان صحیح گاز وارد شونده از کنداسور به داخل اوپرатор از طریق یک فیلتر است. همچنین این قطعه فشار مبرد را بطور ناگهانی کاهش می‌دهد. هنگامی که کمپرسور شروع به کار می‌نماید، شیر انبساط عمل کرده و مبرد مایع با عبور از صافی مربوط به ورودی مایع پرفشار، به گاز پر فشار داخل اوپرатор تبدیل می‌گردد.

زمانی که اوپرатор میزان بیشتری مبرد را طلب می‌نماید، شیر انبساط اجازه می‌دهد تا مبرد کم فشار مورد نیاز به داخل کویل اوپرатор وارد گردد. شیر انبساط برقرار کننده تعادل میان بار گرما و خنک کنندگی بهینه اوپرатор می‌باشد.

از این رو در این تحقیق فیزیک جریان سیال مبرد داخل شیرهای انبساط به صورت عددی شبیه سازی و مطالعه گردیده است، که در این راستا پارامترهای حاکم بر مسئله اعم از فشار تزریق، فشار انبساط و هندسه شیر انبساط و نوع مبرد مورد استفاده در سیکل و پارامترهای دیگر مورد مطالعه و تحقیق عددی قرار گرفته است و در نتیجه سعی شده است که شرایط عملکرد بهینه محاسبه و مدل گردد.

۲-۱ : هدف تحقیق

- در جمع بندی کلی می‌توان بیان کرد که در تحقیق حاضر اهداف ذیل مورد نظر بوده است که عبارتند از :
- بهینه سازی شیرهای انبساط مورد استفاده در سیستم‌های تبرید
 - مقایسه نتایج تحلیلی با داده‌های تجربی مربوطه
 - دستیابی به الگوریتم مناسب در طراحی ساخت شیرهای انبساط در حالت‌های مختلف و قرار دادن در سیکل تبرید صنعتی

^۱- Expansion valve

۱-۳ : ساختار پایان نامه

س از ارائه مقدمه کلی در فصل حاضر، در فصل دوم مروری بر کارهای گذشته در مورد بهبود عملکرد شیرهای ابساط و همچنین اساس کارکرد شیرهای ابساط و انواع مختلف آن انجام شده است. تشریح روشهای عددی بکار رفته و بیان معادلات حاکم منفصل شده در فصل سوم انجام پذیرفته است. مقدمه ای بر نرم افزارهای پیش پردازنده و پس پردازنده (حل گر) در فصل چهار ارائه شده است. در فصل پنجم مدل توربولانس حاکم بر شرایط مسئله مورد بحث و بررسی قرار گرفته است. در فصل ششم به بیان مسئله و ارائه معادلات حاکم پرداخته شده و نتایج بدست آمده بررسی شده است همچنین در این فصل مقایسه ای بین نتایج بدست آمده با نتایج تجربی موجود، انجام شده است و در نهایت تیجه گیری کلی و پیشنهادات برای کارهای آتی در فصل هفتم آورده شده است.

فصل دوم

انواع شیرهای انساط و مروری بر کارهای انجام شده

۱-۲: مقدمه ای بر شیرهای انساط

انتخاب وسیله کنترلی برای کارکرد یک سیستم سرمایش از جنبه های بسیار مهمی می باشد. وسیله کنترلی که پاسخگوی نیاز سیستم نباشد و یا از نظر اندازه نادرست انتخاب شده باشد می تواند باعث کارکرد ضعیف سیستم شود.

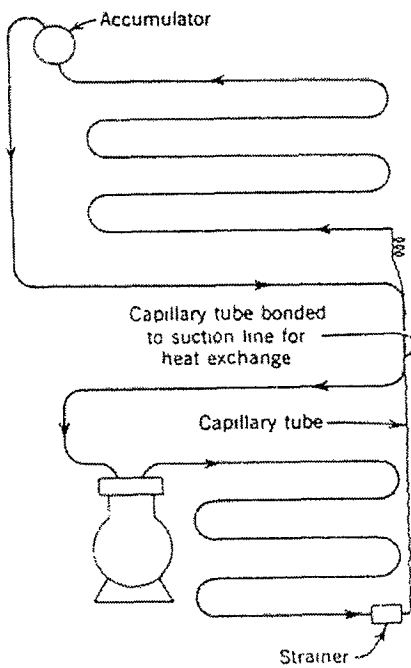
- شیرهای انساط بدون توجه به نوعشان دو وظیفه اساسی را به عهده دارند :

- ۱) اجازه جریان مبرد مایع از لوله مایع به اوپراتور با همان شدت تبخیر مایع در اوپراتور
- ۲) ایجاد اختلاف فشار بین طرفین پر فشار و کم فشار سیستم برای اینکه مبرد بتواند تحت شرایطی که در فشار کم در اوپراتور تبخیر می شود در همان زمان در فشار زیاد در کندانسور نیز تقطیع شود.

۱-۱-۲ : لوله های موئین

لوله موئین (شکل (۱-۲)) ساده ترین وسیله برای کنترل جریان مبرد است و شامل طول معینی از لوله با قطر خیلی کم می باشد که مابین کندانسور و اوپراتور و معمولاً به جای لوله مایع قرار می گیرد. لوله موئین به علت

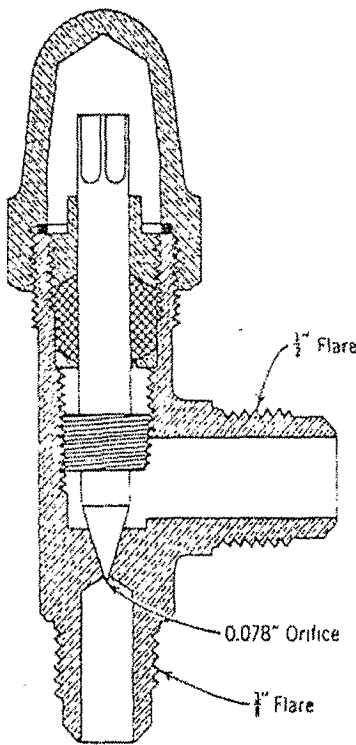
مقاومت اصطکاکی زیاد ناشی از طول زیاد و قطر کم و همچنین پدیده خفگی ناشی از تغییر تدریجی مایع مبرد در لوله به دلیل کاهش فشار به کمتر از فشار اشباع ، در مقابل جریان مبرد مایع از کندانسور به اوپراتور مقاومت می نماید و با کنترل دبی مبرد عبوری ، دیفرانسیل فشار ما بین ان دو را در حد لازم نگه می دارد .



شکل (۱-۲) : سیستم تبرید با لوله مویین

۲-۱-۲ : شیرهای انبساط دستی

شیرهای انبساط دستی (شکل (۲-۲)) ، نوعی از شیرهای سوزنی می باشند که شدت جریان مبرد در آنها به اختلاف فشار در روزنه شیر و باز بودن سوراخ شیر بستگی دارد. به این ترتیب بازی اختلاف فشار ثابت در شیر، بدون توجه به فشار یا بارگذاری اوپراتور، دبی عبوری از سیستم ثابت خواهد ماند. عیب اصلی شیرهای انبساط دستی عدم حساسیت آنها به تغییرات بار سیستم می باشد. بنابراین برای جلوگیری از خالی شدن یا پر شدن اضافی سیستم به هنگام تغییر بار(بسته به جهت تغییربار) باید آن را به طور دستی تنظیم کرد. همچنین هنگامی که کمپرسور روشن و خاموش می شود بایستی شیر را باز و بسته نمود. شیرهای انبساط دستی تنها در سیستمهای بزرگ که اواپراتور دارند و در مواردی که بار سیستم نسبتاً ثابت می باشد به کار می روند و در صورتی که کنترل اتوماتیک مورد نظر بوده و یا تغییرات بار سیستم زیاد باشد از انواع دیگر کنترل کننده های جریان مبرد استفاده می کنند.



شکل (۲-۲) : شیر انبساط دستی

۳-۱-۲ : شیرهای انبساط اتوماتیک

شکل شماتیک شیر انبساط اتوماتیک در شکل (۳-۲) نشان داده شده است. این شیرها تشکیل شده اند از : یک سوزن و نشیمنگاه . یک فانوسی یا دیافراگم فشار ، یک فنر که می توان بوسیله پیچ تنظیمی فشار آن را کنترل نمود و یک صافی در ورودی شیر برای جلوگیری از ورود مواد خارجی و انسداد شیر. شیر کنترل اتوماتیک با کم و زیاد پر نمودن اوپرатор با مبرد مایع در پاسخ به تغییرات بار تبرید، فشار آن را در حد ثابتی نگه می دارد. خاصیت ثابت بودن فشار شیر از مقابله دو نیروی مخالف (۱) فشار اوپرатор (۲) فشار فنر ، ناشی می شود. فشار اوپرатор که به یک طرف دیافراگم وارد می شود می خواهد شیر را بینند ولی فشار فنر که به طرف مقابل دیافراگم اثر می کند باعث باز شدن شیر می شود. باین ترتیب در هنگام کار کمپرسور این شیر فشار اوپرатор را با فشار فنر در حال تعادل نگه می دارد. همانطوری که از اسم این شیرها بر می آید به صورت اتوماتیک عمل کرده و با یک بار تنظیم نمودن فنر بازی افشار مورد نظر، تنظیم جریان مبرد مایع به اوپرатор به صورت اتوماتیک انجام شده و فشار در اوپرатор بدون توجه به بار آن، در حد ثابتی باقی می ماند. با توجه به اینکه شیر انبساط اتوماتیک اجرازه می دهد در زمان بارهای سنگین تنها قسمت کوچکی از اوپرатор با مایع پر شود ظرفیت و راندمان سیستم تبرید به دلیل ثابت بودن فشار تیز ، محدود می شود و نمی توان به ظرفیت و راندمانهای بالاتری دست یافت. همچنین به دلیل اینکه فشار